

В. Д. Кубенко, И. В. Янчевский

**НЕСТАЦИОНАРНАЯ НАГРУЗКА
НА ПОВЕРХНОСТИ УПРУГОЙ ПОЛУПОЛОСЫ**

*Институт механики им. С.П.Тимошенко НАН Украины,
ул. Нестерова, 3, 03057, Киев, Украина; e-mail: vdk@inmech.kiev.ua*

Abstract. A technique is proposed for determination of the stress-strain state of elastic half-strip under action of applied to the boundary non-stationary load. The corresponding boundary problem with initial condition is formulated. The Laplace integral transform is used and further the solution is expanded into Fourier series. A progress of stress and displacement in time and by spatial coordinates is studied.

Key words: elasticity, plane problem, non-stationary processes, stress state, Laplace transform.

Введение.

Исследования нестационарных процессов в упругих телах имеют обширную библиографию. В значительной части публикаций в этом направлении рассмотрено деформирование упругого полупространства или полуплоскости при нестационарной нагрузке. Некоторые сведения о результатах исследований представлены также, например, в работах [3, 6 – 11, 13 – 17]. В работе [5] рассмотрена задача о действии нестационарной нагрузки на границу упругой полуплоскости, решение которой строилось с применением интегральных преобразований Лапласа по времени и Фурье по линейной координате вдоль границы. Инверсия преобразований строилась с применением техники Каньяра [12] совместного обращения преобразований. Указанная техника, использование которой доступно в первую очередь для изображений, однородных относительно параметров преобразований, дает возможность для некоторых видов внешней нагрузки получить точные выражения для нормального напряжения и перемещения как функции времени и расстояния от границы.

В данной публикации развивается численно-аналитический подход, позволяющий при определенных ограничениях на интервал времени исследования получить решение рассматриваемой задачи при действующей нагрузке достаточно общего вида. При этом аналитическое решение публикации [5] служит ориентиром для контроля точности результатов.

Сущность развиваемого подхода состоит в следующем. Вместо упругой полуплоскости вводится в рассмотрение упругая полуполоса определенной ширины с такими граничными условиями на боковых гранях, что представленное в виде тригонометрического ряда Фурье общее решение для волновых потенциалов позволяет удовлетворить этим условиям. Решение этой модифицированной задачи совпадает с решением исходной задачи (для полуплоскости) вплоть до момента возникновения отраженных от боковых граней волн. Применяется преобразование Лапласа по временной переменной и разложение в ряд Фурье по ширине полосы.

В результате последовательных преобразований из решения выделяются функции, имеющие скачкообразный характер, а относительно оставшейся, более гладкой части, задача обращения преобразования Лапласа сводится к решению последовательности интегральных уравнений Вольтерра 2-го рода. Развиваемый ниже подход аналогичен изложенному в [13] применительно к решению задач об ударе затупленным телом.

§1. Постановка задачи. Основные уравнения.

Рассмотрим плоскую задачу о действии нестационарной нагрузки на поверхность упругого полупространства (плоская деформация).

Введем декартовы координаты x, y, z так, что волновой процесс будет происходить в полуплоскости x, z , и используем следующие безразмерные обозначения:

$$\bar{x} = \frac{x}{h}; \quad \bar{z} = \frac{z}{h}; \quad \bar{u}_j = \frac{u_j}{h}; \quad \bar{w} = \frac{w}{h}; \quad \bar{t} = \frac{c_0 t}{h}; \quad \bar{\sigma}_{jk} = \frac{\sigma_{jk}}{E} \quad (j, k = x, z);$$

$$E = \frac{\mu(3\lambda + 2\mu)}{\lambda + \mu}; \quad c_p = \sqrt{\frac{\lambda + 2\mu}{\gamma}}; \quad c_s = \sqrt{\frac{\mu}{\gamma}}; \quad c_0 = \sqrt{\frac{E}{\gamma}}; \quad \alpha = \frac{c_p}{c_0}; \quad \beta = \frac{c_s}{c_0}; \quad b = \frac{\beta}{\alpha},$$

причем далее черта над обозначениями будет опущена. Здесь h – некоторый характерный линейный размер; c_p, c_s – соответственно, скорости распространения волн расширения и волн сдвига в материале [4]; γ – его плотность; E – модуль упругости; λ и μ – постоянные Ламе; σ_{jk} – компоненты напряженного состояния.

Поведение упругой среды описывается волновыми потенциалами Φ и Ψ , которые в случае плоской задачи удовлетворяют волновым уравнениям [4]

$$\frac{\partial^2 \Phi}{\partial x^2} + \frac{\partial^2 \Phi}{\partial z^2} - \frac{1}{\alpha^2} \frac{\partial^2 \Phi}{\partial t^2} = 0; \quad \frac{\partial^2 \Psi}{\partial x^2} + \frac{\partial^2 \Psi}{\partial z^2} - \frac{1}{\beta^2} \frac{\partial^2 \Psi}{\partial t^2} = 0 \quad (1.1)$$

и связаны с перемещениями и напряжениями соотношениями

$$u_x = \frac{\partial \Phi}{\partial x} + \frac{\partial \Psi}{\partial z}; \quad u_z = \frac{\partial \Phi}{\partial z} - \frac{\partial \Psi}{\partial x}; \quad (1.2)$$

$$\sigma_{zz} = (1 - 2b^2) \frac{\partial^2 \Phi}{\partial t^2} + 2\beta^2 \left(\frac{\partial^2 \Phi}{\partial z^2} - \frac{\partial^2 \Psi}{\partial x \partial z} \right); \quad \sigma_{xz} = \beta^2 \left(2 \frac{\partial^2 \Phi}{\partial x \partial z} + \frac{\partial^2 \Psi}{\partial z^2} - \frac{\partial^2 \Psi}{\partial x^2} \right).$$

Если вместо упругой полуплоскости ввести в рассмотрение упругую полуполосу некоторой ширины, которую обозначим через $2l$, можно утверждать, что при той же внешней нагрузке волновые процессы в полуплоскости и полуполосе будут идентичны вплоть до момента появления волн, отраженных от боковых граней полуполосы. При этом на упомянутых гранях могут быть заданы произвольные граничные условия, в частности, такие, чтобы решение волновых уравнений, построенное в виде ряда Фурье на интервале $-l < x < l$, позволяло им удовлетворять. Этот прием позволяет избежать использования преобразования Фурье по линейной координате (а следовательно, и трудоемкой процедуры его обращения) и ограничиться суммированием ряда Фурье.

Сформулируем граничные условия для полуполосы, отнеся ее к координатам x, z так, что ось x направлена вдоль торца, ось z – в глубину (рис. 1).

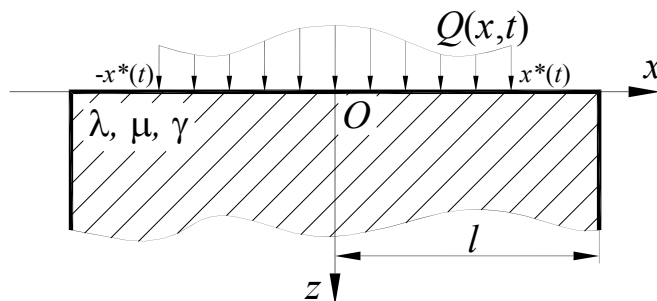


Рис. 1

Условия на торце будут состоять в задании нормального напряжения и отсутствии касательного напряжения, а именно:

$$\sigma_{zz}|_{z=0} = Q(t, x); \quad \sigma_{xz}|_{z=0} = 0, \quad (1.3)$$

причем функция $Q(t, x)$ раскладывается в ряд Фурье на отрезке $(-l < x < l)$, т. е.

$$Q(t, x) = \sum_{n=0}^{\infty} Q_n(t) \cos \tilde{n}x \quad (\tilde{n} = n\pi/l). \quad (1.4)$$

Примем, что на боковых гранях полуполосы (т.е. при $|x|=l$) реализуются следующие граничные условия:

$$u_x|_{|x|=l} = 0; \quad \sigma_{xz}|_{|x|=l} = 0. \quad (1.5)$$

Кроме того, имеют место условия затухания порожденных нестационарной нагрузкой волновых возмущений на бесконечности.

Начальные условия для потенциалов нулевые, т. е.

$$\Phi|_{t=0} = \frac{\partial \Phi}{\partial t}|_{t=0} = \Psi|_{t=0} = \frac{\partial \Psi}{\partial t}|_{t=0} = 0. \quad (1.6)$$

Если волновые уравнения подвергнуть преобразованию Лапласа по времени [1], их общее решение можно записать в виде

$$\Phi^L = \sum_{n=0}^{\infty} (A_n(s) e^{-(z/\alpha)P} + \tilde{A}_n(s) e^{(z/\alpha)P}) \cos \tilde{n}x; \quad P = \sqrt{s^2 + \alpha^2 \tilde{n}^2}; \quad (1.7)$$

$$\Psi^L = \sum_{n=1}^{\infty} (B_n(s) e^{-(z/\beta)S} + \tilde{B}_n(s) e^{(z/\beta)S}) \sin \tilde{n}x; \quad S = \sqrt{s^2 + \beta^2 \tilde{n}^2}.$$

Здесь индекс L обозначает изображение соответствующей функции. Напряжения и перемещения также представим в виде рядов Фурье. Из условий затухания возмущений на бесконечности следует, что $\tilde{A}_n = \tilde{B}_n = 0$. Нетрудно убедиться, что условия (1.5) выполняются автоматически. Тогда граничные условия (1.3) позволяют определить оставшиеся произвольные постоянные, в результате чего выражение для коэффициентов Фурье изображения нормального напряжения σ_{zz}^L будет иметь вид

$$\sigma_{zz_n}^L = Q_n^L \left[\frac{(s^2 + 2\tilde{n}^2 \beta^2)^2}{\Delta_n} e^{-\frac{z}{\alpha}P} - \frac{4\tilde{n}^2 (\beta^3/\alpha) PS}{\Delta_n} e^{-\frac{z}{\beta}S} \right] \quad (1.8)$$

$$(\Delta_n = (s^2 + 2\tilde{n}^2 \beta^2)^2 - 4\tilde{n}^2 (\beta^3/\alpha) PS).$$

Аналогично записываются изображения коэффициентов для остальных компонент напряженно-деформированного состояния. В частности, для перемещения u_z^L получим

$$u_{z_n}^L = -\frac{1}{\alpha} Q_n^L \left[\frac{(s^2 + 2\tilde{n}^2 \beta^2) P}{\Delta_n} e^{-\frac{z}{\alpha}P} - \frac{2\tilde{n}^2 \beta^2 P}{\Delta_n} e^{-\frac{z}{\beta}S} \right].$$

Задача состоит в обращении интегрального преобразования и суммировании рядов Фурье.

§2. Методика решения задачи.

Далее основное внимание уделим вычислению напряжения σ_{zz} . С целью построения процедуры обращения перепишем выражение (1.8) в виде

$$\sigma_{zz_n}^L = Q_n^L(s) \left\{ e^{-\frac{z}{\alpha}s} + \left(e^{-\frac{z}{\alpha}P} - e^{-\frac{z}{\alpha}s} \right) + \frac{4\tilde{n}^2(\beta^3/\alpha)PS}{\Delta_n} \left[\left[e^{-\frac{z}{\alpha}s} + \left(e^{-\frac{z}{\alpha}P} - e^{-\frac{z}{\alpha}s} \right) \right] - \left[e^{-\frac{z}{\beta}s} + \left(e^{-\frac{z}{\beta}S} - e^{-\frac{z}{\beta}s} \right) \right] \right] \right\}. \quad (2.1)$$

Воспользуемся следующими табличными значениями оригиналов [1]:

$$L^{-1} \{ e^{-(z/\alpha)P} - e^{-(z/\alpha)s} \} = k_{n\alpha}(t, z) = -H \left(t - \frac{z}{\alpha} \right) z\tilde{n} \frac{J_1 \left(\alpha\tilde{n}\sqrt{t^2 - (z/\alpha)^2} \right)}{\sqrt{t^2 - (z/\alpha)^2}}; \quad (2.2)$$

$$L^{-1} \{ e^{-(z/\beta)S} - e^{-(z/\beta)s} \} = k_{n\beta}(t, z) = -H \left(t - \frac{z}{\beta} \right) z\tilde{n} \frac{J_1 \left(\beta\tilde{n}\sqrt{t^2 - (z/\beta)^2} \right)}{\sqrt{t^2 - (z/\beta)^2}}.$$

Здесь L^{-1} обозначает оператор обращения преобразования Лапласа; $H(t)$ – единичная функция Хевисайда; J_m – цилиндрическая функция Бесселя m -го индекса [2]. В выражении (2.1) множитель при фигурных скобках обозначим через $R_n^L(s)$

$$R_n^L(s) = \frac{4\tilde{n}^2(\beta^3/\alpha)PS}{\Delta_n} = \frac{1}{1 - 4\tilde{n}^2(\beta^3/\alpha)PS/(s^2 + 2\tilde{n}^2\beta^2)^2} \cdot \frac{4\tilde{n}^2(\beta^3/\alpha)PS}{(s^2 + 2\tilde{n}^2\beta^2)^2}$$

и перепишем его в виде

$$R_n^L(s) = \frac{K_n^L(s)}{1 - K_n^L(s)}; \quad K_n^L(s) = 4\tilde{n}^2 \frac{\beta^3}{\alpha} \frac{PS}{(s^2 + 2\tilde{n}^2\beta^2)^2}. \quad (2.3)$$

Выражение (2.3) для R_n^L можно записать так:

$$(1 - K_n^L(s))R_n^L = K_n^L(s),$$

откуда, применяя теорему о свертке операционного исчисления, получим интегральное уравнение Вольterra 2-го рода относительно R_n

$$R_n(t) - \int_0^t R_n(\tau) K_n(t - \tau) d\tau = K_n(t). \quad (2.4)$$

Функция $K_n(t)$, являющаяся ядром и правой частью, определяется при помощи следующей процедуры. Изображение $K_n^L(s)$ разобьем на два множителя

$$K_n^L(s) = 4\tilde{n}^2 \frac{\beta^3}{\alpha} \frac{s(s^2 + \alpha^2\tilde{n}^2)}{(s^2 + 2\tilde{n}^2\beta^2)^2} \cdot \frac{S}{sP} = 4\tilde{n}^2 \frac{\beta^3}{\alpha} l_1^L(s) \cdot l_2^L(s);$$

$$l_1^L(s) = \frac{s(s^2 + \alpha^2\tilde{n}^2)}{(s^2 + 2\tilde{n}^2\beta^2)^2}; \quad l_2^L(s) = \frac{S}{sP}, \quad (2.5)$$

обращение которых выполним по отдельности. Первый из них – табличный [1]:

$$l_1(t) = \cos(\sqrt{2}\beta\tilde{n}t) + \frac{\sqrt{2}\tilde{n}(\alpha^2 - 2\beta^2)}{4\beta} t \cdot \sin(\sqrt{2}\beta\tilde{n}t),$$

а второй обращается после преобразования

$$l_2^L = \frac{1}{s} \frac{(\sqrt{s^2 + \beta^2 \tilde{n}^2} - s) + s}{\sqrt{s^2 + \alpha^2 \tilde{n}^2}} = \frac{1}{s\sqrt{s^2 + \alpha^2 \tilde{n}^2}} (\sqrt{s^2 + \beta^2 \tilde{n}^2} - s) + \frac{1}{\sqrt{s^2 + \alpha^2 \tilde{n}^2}}$$

и применения свертки

$$l_2(t) = \int_0^t f(t-\tau) \frac{\beta \tilde{n}}{\tau} J_1(\beta \tilde{n} \tau) d\tau + J_0(\alpha \tilde{n} t); \quad f(t) = \int_0^t J_0(\alpha \tilde{n} \tau) d\tau. \quad (2.6)$$

Таким образом, функция $K_n(t)$ имеет вид

$$K_n(t) = \frac{4\tilde{n}^2 \beta^3}{\alpha} \int_0^t l_1(\tau) l_2(t-\tau) d\tau. \quad (2.7)$$

Из формулы (2.1) получаем окончательно выражение для $\sigma_{zz}(t, x, z)$

$$\sigma_{zz}(t, z) = H\left(t - \frac{z}{\alpha}\right) Q_n\left(t - \frac{z}{\alpha}\right) + \int_0^t Q_n(\tau) \tilde{R}_n(t-\tau, z) d\tau \quad (2.8)$$

$$\begin{aligned} (\tilde{R}_n(t, z) = k_{n\alpha}(t, z) + H(t - z/\alpha) R_n(t - z/\alpha) - H(t - z/\beta) R_n(t - z/\beta) + \\ + \int_0^t R_n(\tau) [k_{n\alpha}(t-\tau, z) - k_{n\beta}(t-\tau, z)] d\tau), \end{aligned} \quad (2.9)$$

где функция $R_n(t)$ есть решение интегрального уравнения (2.3), ядро и правая часть которого задаются формулой (2.5), функции $k_{n\alpha}(t, z)$, $k_{n\beta}(t, z)$ определяются соотношениями (2.2).

Окончательно нормальное напряжение $\sigma_{zz}(t, x, z)$ в произвольной точке полуполосы, которая на конечном интервале времени моделирует волновой процесс в упругой полуплоскости, вычисляется по формуле

$$\sigma_{zz}(t, x, z) = \sum_{n=0}^{\infty} \sigma_{zz_n}(t, z) \cos \tilde{n}x. \quad (2.10)$$

Процедура построения оригиналов коэффициентов u_{z_n} , определяющих перемещения

$u_z(t, x, z) = \sum_{n=0}^{\infty} u_{z_n}(t, z) \cos \tilde{n}x$ точек полуполосы при заданном механическом ее нагружении, аналогична изложенной выше.

§3. Числовые результаты.

Конкретные вычисления напряжения $\sigma_{zz}(t, x, z)$ были проведены для полуполосы шириной $2l = 2\pi$ (рис. 1) в предположении равномерного распределения единичной нагрузки на участке $(-x^*, x^*)$, ширина которого, в общем случае, является функцией времени ($x^* = x^*(t)$). При таком варианте нагружения, т.е. при $Q(t, x) = q_0 H(t) H(x^* - |x|)$, где $q_0 = 0,01$, коэффициенты ряда (1.4) могут быть вычислены на основании следующих выражений:

$$Q_0(t) = q_0 \left[1 - \left(1 - \frac{x^*}{l} \right) H(l - x^*) \right]; \quad Q_n(t) = H(l - x^*) q_0 \frac{2}{\tilde{n}l} \sin(\tilde{n}x^*) \quad (n = 1, 2, \dots).$$

Характеристики материала приняты следующие [5]: $\alpha = 1,28$; $\beta = 0,69$.

В качестве тестового рассмотрен случай, когда участок приложения нагрузки расширяется с постоянной скоростью \tilde{k} ($x^*(t) = \tilde{k}t$). Вычисленные в соответствии с (2.10) значения напряжения σ_{zz} вдоль оси z вплоть до момента возникновения отраженных от боковых граней полуполосы волн хорошо согласуются с представленными в публикации [5] их точными значениями, что свидетельствует об эффективности разработанного подхода к исследованию нестационарного деформирования при действии нагрузок достаточно общего вида.

Укажем, что при решении уравнения (2.4) и вычислении входящих в (2.5) – (2.9) интегралов использованы квадратурные формулы Симпсона. Постоянный шаг интегрирования Δt , а также количество удерживаемых членов в рядах Фурье N , выбирались из условия обеспечения необходимой точности результатов. Так, отличие максимальных значений напряжений σ_{zz} (2.10) и функции R_N (2.4) на исследуемом временном интервале $[0;3]$ при $\Delta t = 1/8000$ и $\Delta t = 1/10000$ не превышало 1%. При вычислении методом квадратур интегралов, содержащих функцию $k_{n\alpha}$ с точкой конечного разрыва $t = t_\alpha = z/\alpha$ ($k_{n\alpha}(t, z)|_{t < t_\alpha} \equiv 0$, $\lim_{\delta \rightarrow 0} k_{n\alpha}(t_\alpha + \delta, z) = -z\alpha\tilde{n}^2/2$), интегрирование на содержащем эту точку интервале ($t'_\alpha; t'_\alpha + \Delta t$) сводилось к интегрированию на интервале ненулевых значений $k_{n\alpha}$. Здесь $t'_\alpha = \Delta t \cdot E(t_\alpha/\Delta t)$, где $E(x)$ – целая часть аргумента. Аналогичная процедура применена для вычисления интегралов с подынтегральной функцией $k_{n\beta}(t, z)$.

Представленный далее графический материал иллюстрирует результаты расчета σ_{zz} и u_z для случаев, когда изменение $x^*(t)$ происходит по параболическому закону ($x^*(t) = \sqrt{\tilde{k}t}$) (рис. 2), и когда участок распределения внешней нагрузки имеет фиксированную ширину $2d$ ($x^*(t) = d$) (рис. 3).

Расчеты проводились для нескольких значений параметров $k = \tilde{k}/\alpha$ ($k = 0,1; 1; 5; 10$) и d ($d = l/6; l/3; l/2$). При этом рис. 2, а и 3, а показывают развитие во времени нормальных напряжений в точке с координатами $x = 0; z = 0,5$, а рис. 2, б и 3, б иллюстрируют эпюры распределения напряжений вдоль оси z при $t = 1,5$. Наконец, на рис. 2, в, г и 3, в, г представлены кривые, отражающие динамику распределения напряжений σ_{zz} и перемещений u_z по ширине полуполосы в сечении $z = 1$ для моментов времени $t = t_\alpha \approx 0,78; 1,0; 1,5 \approx 1,04 \cdot t_\beta$ и 3,0. Укажем, что штриховые линии на рис. 2, в, г относятся к случаю $k = 0,1$; сплошные – $k = 5,0$.

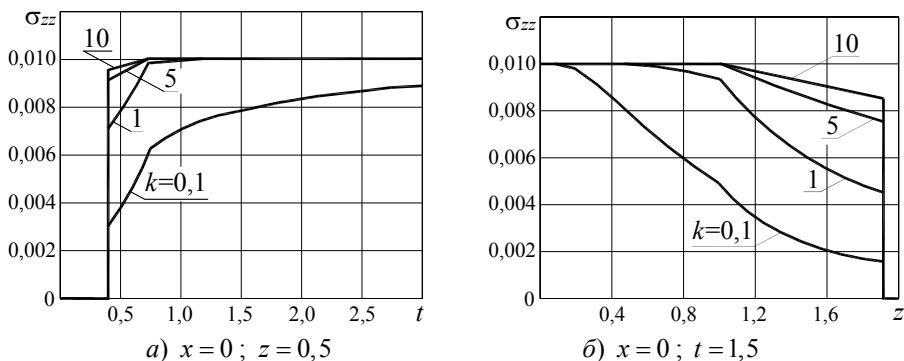


Рис. 2

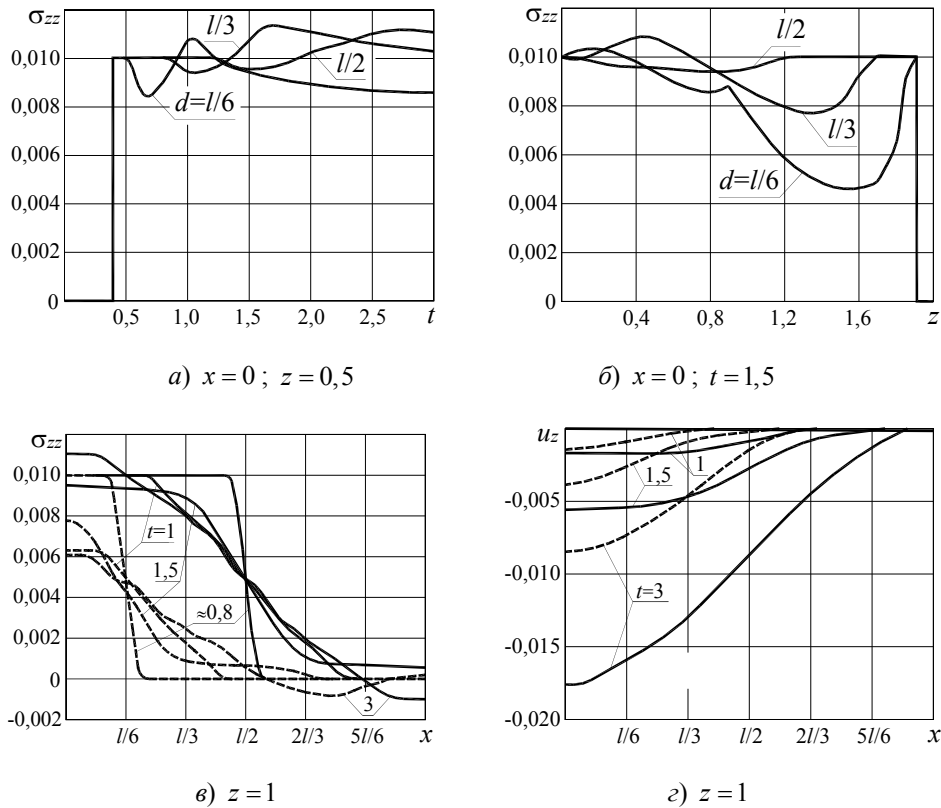


Рис. 3

В свою очередь, штриховые линии на 3, в, г относятся к случаю $d = l/6$, а сплошные – $d = l/2$.

Из анализа приведенных на рис. 2, а – в кривых следует, что при движущейся в соответствии с выражением $x^*(t) = \sqrt{\tilde{k}t}$ границе области приложения нагрузки напряжение σ_{zz} в точках на оси z с приходом волны расширения ($t = t_\alpha = z/\alpha$) скачком принимает некоторое значение, меньшее q_0 , причем высота скачка пропорциональна параметру скорости движения нагрузки k ($k = \tilde{k}/\alpha$) и обратно пропорциональна значению координаты z . За фронтом волны ($t > t_\alpha$) происходит непрерывное возрастание значений σ_{zz} до действующего на торцевой поверхности полуполосы ($z = 0$) единичного уровня ($\sigma_{zz} = q_0$). При этом для значений параметра $k = 0,1$, $k = 1$ на представленных на рис. 2, а графиках наблюдается увеличение скорости роста напряжений вплоть до момента прихода волны сдвига ($t = t_\beta = z/\beta$), после которого имеет место замедление указанного роста. Для более высоких значений параметра k ($k = 5$ и $k = 10$) максимальное на расчетном временном интервале значение σ_{zz} для точек на оси z достигается к моменту $t = t_\beta$.

Несколько иная картина напряженно-деформированного состояния возникает при фиксированной ширине участка нагружения (рис. 3). В этом случае с приходом упругой волны расширения в точку на оси z ($t = t_\alpha$) напряжение σ_{zz} скачком принимает значение q_0 (рис. 3, а – в), а распределение σ_{zz} по сечению $z = \text{const}$ при $t = t_\alpha$ качественно и количественно повторяет исходное распределение функции Q (кривые $t = t_\alpha$ – рис. 3, в). Выявлено, что при внезапном приложении постоянной нагрузки q_0

к части торцевой границы полуполосы ($d < l$) как напряжение σ_{zz} , так и перемещение u_z в точках $x = 0$ до прихода отраженных от боковых границ упругих волн могут превышать соответствующие случаю равномерного распределения нагрузки на торце ($d = l$) значения, для которых будут справедливы следующие выражения:

$$\tilde{\sigma}_{zz}(t, z) = H(t - (z/\alpha)) \cdot q_0; \quad \tilde{u}_z(t, z) = -H(t - (z/\alpha)) \cdot (q_0/\alpha) \cdot (t - (z/\alpha)).$$

В целом, отклонение кривой $u_z|_{x=0}$ от кривой \tilde{u}_z при сопоставимых с шириной полуполосы областях распределения нагрузки на ее торце коррелирует с отклонением σ_{zz} от $\tilde{\sigma}_{zz}$ (рис. 3, а). За фронтом волны в точках оси z некоторое время сохраняется постоянное значение напряжения, после чего наблюдается поочередное уменьшение и увеличение значений σ_{zz} и затем монотонное их убывание на рассматриваемом временном интервале (кривые $d = l/6$, $d = l/3$; рис. 3, а. Начало уменьшения значений σ_{zz} при меньших от d ($d < l$) значениях z может быть приближенно установлено отношением d/α , однако с увеличением z происходит смещение этого момента по времени и, очевидно, имеет место при $t \geq t_\alpha$. Сравнение приведенных на рис. 2, б и 3, б графиков показывает, что волна сдвига, которая при переменном x^* обуславливает излом кривых σ_{zz} , в случае $x^* = \text{const}$ оказывает слабое на них влияние, а распределение напряжений σ_{zz} в сечении $x = 0$ полуполосы за фронтом волны сжатия-растяжения имеет более сложный характер, проявляющийся также в возникновении больших, чем возбуждаемых на границе $z = 0$, напряжений σ_{zz} .

Представленные на рис. 3, в графики распределения напряжений σ_{zz} в сечении $z = 1$, которые вычислены при $d = l/6$ и $d = l/2$ в различные моменты времени, свидетельствуют о выравнивании (сглаживании) напряженного состояния, сопровождающееся, как и в случае переменного x^* (рис. 2, в), возникновением областей с напряжениями противоположного q_0 знака (кривые $t = 3$). Обнаружено, что в пределах указанных областей имеет место незначительное (не превышающее 0,03 на выбранном временном интервале) смещение u_z в противоположную движению точек в средней части полуполосы сторону. При $d = l/2$ перемещение u_z точки с координатами $x = 0$ и $z = 1$ с приемлемой точностью может быть описано выражением $\tilde{u}_z(t, z)$ (расхождение значений находится в пределах 1,7 %).

Заключение.

Таким образом, в данной публикации развивается численно-аналитический подход, который на некотором конечном временном интервале позволяет получить решение рассматриваемой нестационарной задачи при действующей нагрузке достаточно общего вида. Сущность подхода состоит в том, что вместо упругой полуплоскости вводится в рассмотрение упругая полуполоса и общее решение строится в виде ряда Фурье, что позволяет избежать необходимости обращения двух интегральных преобразований. Приведенные числовые результаты подтверждают справедливость предложенного приема.

РЕЗЮМЕ. Запропоновано методику визначення напружено-деформівного стану пружної півсмуги при дії прикладеного до її межі нестационарного навантаження. Сформульовано відповідну граничну задачу з початковими умовами. Застосовано інтегральне перетворення Лапласа і розвинення в ряд Фур'є. Досліджено розвиток напруження і переміщення в часі і за просторовими координатами.

1. *Бейтмен Г., Эрдейи А.* Таблицы интегральных преобразований: В 2-х т. – М.: Наука, 1969. – Т. 1. – 344 с.
2. *Бейтмен Г., Эрдейи А.* Высшие трансцендентные функции. Функции Бесселя, функции параболического цилиндра, ортогональные многочлены. – М.: Наука, 1966. – 295 с.
3. *Гориков А.Г., Тарлаковский Д.В.* Динамические контактные задачи с подвижными границами. – М.: Наука. Физматгиз, 1995. – 352 с.
4. *Гузь А.Н., Кубенко В.Д., Черевко М.А.* Дифракция упругих волн. – К.: Наук. думка, 1978. – 300 с.
5. *Кубенко В.Д.* Напряженное состояние упругой полуплоскости при нестационарном нагружении // Прикл. механика. – 2015. – **51**, № 2. – С. 3 – 12.
6. *Поручиков В.Б.* Методы динамической теории упругости. – М.: Наука, 1986. – 328 с.
7. *Anik'ev I. I., Maksimyuk V.A., Mikhailova M.I., Sushchenko E.A.* Incidence of a Shock Wave on a Cantilever Plate Coupled with an Elastic Rod // Int. Appl. Mech. – 2013. – **49**, N 4. – P. 482 – 487.
8. *Anik'ev I. I., Maksimyuk V.A., Mikhailova M.I., Sushchenko E.A.* Nonstationary Behavior of a Cantilever – Rod System under Nearly Critical Loads // Int. Appl. Mech. – 2013. – **49**, N 5. – P. 570 – 575.
9. *Anik'ev I. I., Mikhailova M.I., Sushchenko E.A.* Effect of a Lap on Deformation of Elastic Plate with an End Cut under Action of Shock Wave // Int. Appl. Mech. – 2014. – **50**, N 4. – P. 570 – 575.
10. *Bakker M.C.M., Kooij B.J., and Verweij M.D.* A knife-edge load traveling on the surface of an elastic halfspace // Wave Motion. – 2012. – **49**. – P. 165 – 180.
11. *Cagniard L.* Reflexion et Refraction des Ondes Seismiques. – Paris, 1939. – 255 p.
12. *In-Mo L.* Transient groundmotion in an elastic homogeneous halfspace to blasting loading // Soil Dynamics and Earthquake Eng. – 1996. – **15**, N 3. – P. 151 – 159.
13. *Kubenko V.D.* Nonstationary Contact of a Rigid Body with an Elastic Medium. Plane Problem // Int. Appl. Mech. – 2012. – **48**, N5. – C. 487 – 551.
14. *Mesquita E., Antes H., Thomazo L.H., Adolph M.* Transient wave propagation phenomena at viscoelastic half-spaces under distributed surface loadings // Lat. Am. J. Solids Struct. – 2012. – **9**, N 4.
15. *Payton R.G.* Transient motion of an elastic half-space due to a moving surface line load // Int. J. Eng. Sci. – 1967. – **5**, N1. – P. 40 – 79.
16. *Robinson A. R., Thompson J. C.* Transient Stresses in an Elastic Half Space Resulting from the Frictionless Indentation of a Rigid Wedge-Shaped Die // ZAMM. – 1974. – **54**, N 3. – P.139 – 144.
17. *Zhao X., Meguid S.A., Liew K.M.* The transient response of bonded piezoelectric and elastic half space with multiple interfacial collinear cracks // Acta Mech. – 2002. – **159**. – P. 11 – 27.

Поступила 11.11.2013

Утверждена в печать 19.02.2015